

## บทที่ 4 ผลการทดลอง

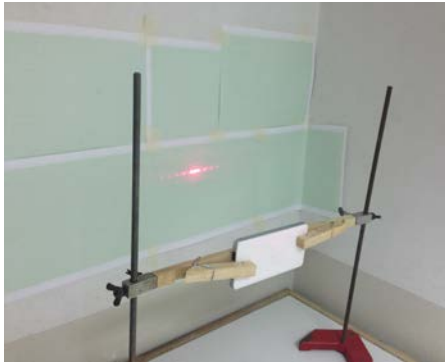
ในบทนี้จะกล่าวถึง ผลการออกแบบ การทดลอง การแทรกสอดและเลี้ยวเบนของแสง แบบเฟรอน์โฮเฟอร์ จากสไลทแผ่นฟิล์มกราฟิกที่ออกแบบสร้างด้วยโปรแกรม Adobe Illustrator CS3 แล้ววิเคราะห์รูปแบบการกระจายความเข้มแสงเทียบตำแหน่งด้วยโปรแกรม Image J พร้อมทั้งนำเสนอการออกแบบการสอน หลักการ เรื่อง การแทรกสอดและการ เลี้ยวเบนแสง แบบเฟรอน์โฮเฟอร์โดยการทดลองผ่านกระบวนการสอนแบบสืบเสาะให้นักเรียนในระดับมัธยมศึกษาตอนปลาย

### 4.1 ผลการศึกษาและออกแบบชุดทดลองการแทรกสอดและการเลี้ยวเบนของแสงแบบเฟรอน์โฮเฟอร์

จากการศึกษาและออกแบบชุดทดลองการแทรกสอดและการเลี้ยวเบนของแสงแบบเฟรอน์โฮเฟอร์ ในการศึกษาและออกแบบผู้วิจัยสามารถประยุกต์วัสดุอุปกรณ์ที่มีอยู่ในห้องเรียนมาประกอบสร้างเป็นชุดทดลองแล้วทดลองออกแบบตัวแปรที่เกี่ยวข้องกับการแทรกสอดและเลี้ยวเบนของแสง แบบเฟรอน์โฮเฟอร์ เพื่อทดสอบประสิทธิภาพในการใช้งาน ชุดทดลองที่ออกแบบขึ้น พบว่า วัสดุอุปกรณ์การทดลอง เรื่องการแทรกสอดและการเลี้ยวเบนของแสงแบบเฟรอน์โฮเฟอร์ จากวัสดุอย่างง่ายสามารถนำไปใช้ทดลองเพื่อศึกษาและเรียนรู้คุณสมบัติของการแทรกสอดและเลี้ยวเบนของแสงในห้อง เรียนได้จริง ดังตัวอย่างรูปที่ 4.1 และมีรายละเอียดชิ้นส่วนอุปกรณ์ที่ประกอบ ดังตัวอย่างรูปที่ 4.2



รูปที่ 4.1 การจัดตั้งอุปกรณ์ชุดทดลองการแทรกสอดและเลี้ยวเบนของแสงแบบเฟรอน์โฮเฟอร์



( ก ) ฉากรับภาพบอกตำแหน่งและแทนยึดจับ กล้องถ่ายภาพดิจิทัลมือถือ



( ข ) ตัวจับสลิตที่ประยุกต์จากคลิปหนีบก้ามปู และรางวัดระยะจากตลับเมตร



( ค ) ขาตั้งและแทนยึดใช้จับเลเซอร์ให้ตั้งฉากกับสลิต

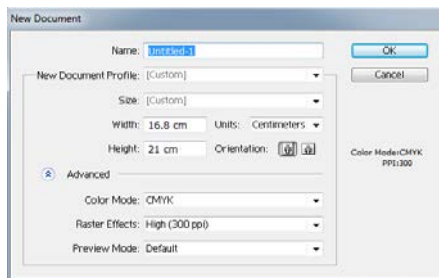
#### รูปที่ 4.2 ชิ้นส่วนอุปกรณ์ที่ออกแบบชุดการทดลองอย่างง่ายการแทรกสอดและการเลี้ยวเบนของแสงแบบเฟรานส์โฮเฟอร์

ผลการออกแบบชุดทดลอง พบว่า แหล่งกำเนิดแสงเลเซอร์ต้องเป็น ลำแสงขนาน วางห่างจากสลิต 0.5 เมตรเคลื่อนที่ผ่านสลิตขนาดต่างๆและการกำหนดระยะตำแหน่งจากสลิตมายังฉากรับภาพจะต้องเป็น ระยะไกล การออกแบบกล้องบันทึกภาพจะใช้กล้อง 2 แบบ คือ กล้องดิจิทัลมือถือเพื่อความชัดเจนของระยะแถบมืดสว่างที่ตกบนฉากกราฟและ DSLR ที่ Speed Shutter 1/40 เพื่อความคมชัดในการแปลงภาพถ่ายเป็นกราฟกระจายความเข้มแสงด้วยโปรแกรม Image J โดยกล้องดิจิทัลทุกตัววางห่างจากฉาก 0.3 เมตร สำหรับความยาวคลื่นของแหล่งกำเนิดแสงเลเซอร์จะต้องมีค่า มากกว่าหรือเท่ากับความกว้างของช่องสลิต จึงจะส่งผลให้ได้ลักษณะของภาพของการแทรกสอดการเลี้ยวเบนจะ ขยายกว้างที่จะสามารถแยกแยะมืดสว่างได้ด้วยการสังเกต

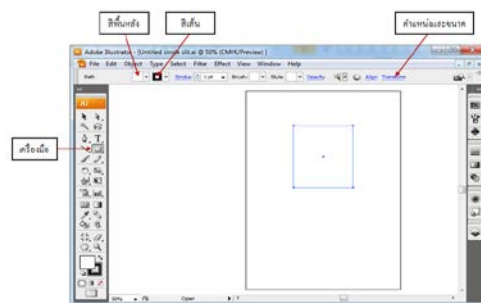
## 4.2 ผลการศึกษาออกแบบและสร้างสลิทที่ควบคุมขนาดได้ ด้วยโปรแกรม Adobe Illustrator CS3

### 4.2.1 ผลการออกแบบสลิทด้วยโปรแกรม Adobe Illustrator CS3

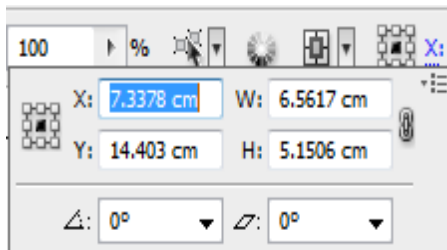
จากการศึกษาออกแบบสลิท เดี่ยวและ สลิทคู่ที่ควบคุมขนาดได้ ระดับไมโครเมตร ( $\mu\text{m}$ ) ด้วยโปรแกรม Adobe Illustrator CS3 ได้ทราบถึงขั้นตอนและกระบวนการตั้งค่าตั้งต้นของการออกแบบสลิท ดังตัวอย่างรูปที่ 4.3



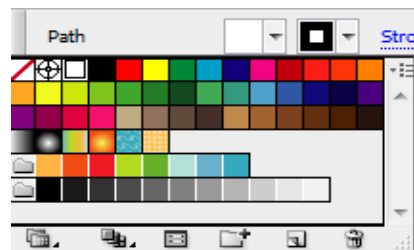
( ก ) การตั้งค่ากระดาษ



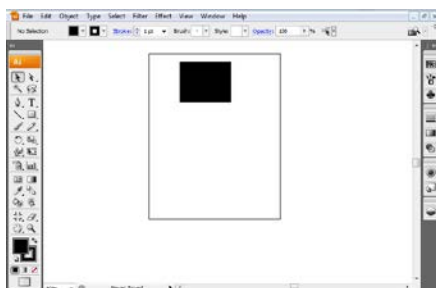
( ข ) ขนาดกระดาษที่ตั้งค่า



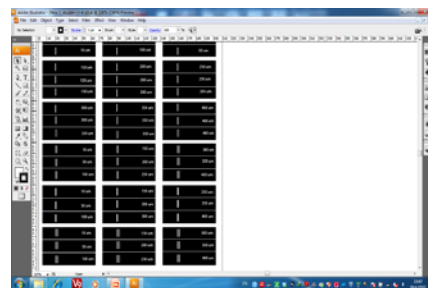
( ค ) ขนาดแผ่นสลิท



( ง ) สีพื้นหลังและความกว้างสลิท



( จ ) แผ่นสลิทที่เลือกออกแบบ



( ฉ ) สลิทที่ออกแบบ

รูปที่ 4.3 กระบวนการตั้งค่าเริ่มต้นของการออกแบบสลิทที่ควบคุมขนาดได้ด้วยโปรแกรม Adobe Illustrator CS3

จากผลการออกแบบสลิตพบว่า คำสั่งในโปรแกรม Adobe Illustrator CS3 สามารถใช้ออกแบบสลิตที่มีความกว้างระดับไมโครเมตร ( $\mu\text{m}$ ) ได้

#### 4.2.2 ผลของการสร้างสลิตลงบนแผ่นฟิล์มกราฟิก

จากการนำสลิตที่ออกแบบเสร็จสมบูรณ์ ไปที่โรงพิมพ์ ศูนย์ฟิล์ม เพื่อทำการ พิมพ์ฟิล์ม ลงบนแผ่นฟิล์มกราฟิก ได้สลิตที่ควบคุมขนาดได้ตามออกแบบดังตัวอย่างรูปที่ 4.4



( ก ) สลิตที่พิมพ์ลงแผ่นฟิล์มกราฟิก



( ข ) สลิตเดี่ยว



( ค ) สลิตคู่ช่องสมมาตร



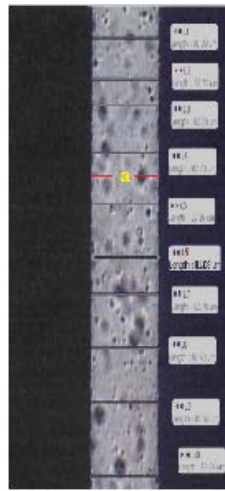
( ง ) สลิตคู่ช่องไม่สมมาตร

#### รูปที่ 4.4 สลิตที่ควบคุมขนาดได้ที่พิมพ์ลงบนแผ่นฟิล์มกราฟิก

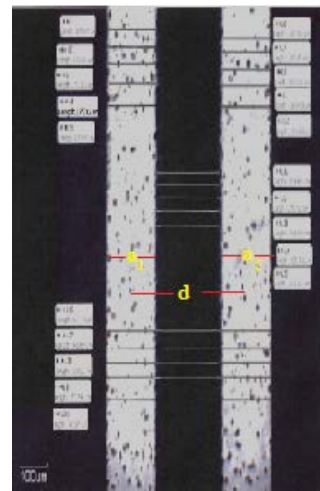
จากผลการสร้างสลิตลงบนแผ่นฟิล์มกราฟิกพบว่า ขั้นตอนการสั่งพิมพ์ฟิล์มต้องเลือกพิมพ์ฟิล์มชนิดเหมือนกับที่ออกแบบ (positive) ถึงจะสามารถสร้างสลิตที่ควบคุมขนาดได้ในรูปแบบที่หลากหลาย นอกเหนือจากขนาดที่มีขายตามเชิงพาณิชย์ทั่วไป

### 4.3 ผลการวิเคราะห์ความกว้างของช่องสลิตโดยใช้กล้องจุลทรรศน์เชิงแสงด้วยโปรแกรม Motic Image Plus Version 2.0

จากผลการวิเคราะห์ความกว้างของช่อง สลิตเดี่ยว (a) และระยะห่างระหว่างช่องสลิตคู่ (d) โดยใช้กล้องจุลทรรศน์เชิงแสงด้วยโปรแกรม Motic Image Plus Version 2.0 แสดงผลภาพถ่ายดังตัวอย่างรูปที่ 4.5



(ก) ภาพถ่ายการวิเคราะห์สลิตเดี่ยว



(ข) ภาพถ่ายการวิเคราะห์สลิตคู่

รูปที่ 4.5 ภาพถ่ายผลการวิเคราะห์ความกว้างของช่องสลิตจากกล้องจุลทรรศน์เชิงแสงด้วยโปรแกรม Motic Image Plus Version 2.0

จากผลการทดลองที่แสดงดังตัวอย่างรูปที่ 4.5 พบว่าในการวัดค่าความกว้างของช่องสลิตเดี่ยว (a) และค่าระยะห่างระหว่างช่องสลิตคู่ (d) ได้วัดค่าความกว้าง ณ ตำแหน่งต่างๆ 10 ตำแหน่ง เพื่อดูความสม่ำเสมอของความกว้างสลิต แล้วหาค่าเฉลี่ยสำหรับ 10 ตำแหน่งที่วัดได้เลือกเป็น ค่าความกว้างของช่องสลิตเดี่ยว (a) และค่าระยะห่างระหว่างช่องสลิตคู่ (d) จากกล้องจุลทรรศน์เปรียบเทียบกับค่าความกว้างที่ออกแบบ ด้วยโปรแกรม Adobe Illustrator CS3 แสดงดังตัวอย่างตารางที่ 4.1 และ 4.2 ตามลำดับ

ตารางที่ 4.1 ผลการเปรียบเทียบค่าความกว้างของช่องสลิตเดี่ยวที่ออกแบบและค่าความกว้างที่ได้ด้วยการวิเคราะห์จากกล้องจุลทรรศน์เชิงแสง

ค่าความกว้างของสลิตที่ออกแบบ ( $\mu\text{m}$ )	ค่าความกว้างของสลิตจากกล้อง จุลทรรศน์เชิงแสง ( $\mu\text{m}$ )	% ความคลาดเคลื่อน
30	27.95	6.83
40	37.12	7.2
50	46.95	6.1
60	57.42	4.3
70	63.74	8.94
80	71.23	12.3
90	80.57	10.47
100	92.30	8.34
150	137.61	8.26
200	171.90	14.05
250	232.26	7.09
300	276.37	7.87
350	312.63	10.67
400	356.29	10.93

จากผลการเปรียบเทียบ ค่าความกว้างของ ช่องสลิตเดี่ยวที่ออกแบบและค่าความกว้างที่ได้ ด้วยการวิเคราะห์จาก กล้องจุลทรรศน์เชิงแสงพบว่า ค่าความกว้างของช่องสลิตเดี่ยวที่ออกแบบจะมีค่าความกว้างมากกว่าค่าความกว้างที่ได้ ด้วยการวิเคราะห์จาก กล้องจุลทรรศน์เชิงแสง หากค่าเปอร์เซ็นต์ความคลาดเคลื่อนค่าที่ได้จากกล้องจุลทรรศน์เทียบกับค่าที่ออกแบบ ได้ เปอร์เซ็นต์ความคลาดเคลื่อนที่ไม่เกิน 15%

ตารางที่ 4.2 ผลการเปรียบเทียบค่าความกว้างของระยะห่างระหว่างช่องสลิตคู่ที่ออกแบบและค่าระยะห่างระหว่างช่องสลิตคู่ที่ได้ด้วยการวิเคราะห์จากกล้องจุลทรรศน์เชิงแสง

ค่าระยะห่างระหว่างช่องสลิตคู่ที่ออกแบบ ( $\mu\text{m}$ )	ค่าระยะห่างระหว่างช่องสลิตคู่จากกล้องจุลทรรศน์ ( $\mu\text{m}$ )	% ความคลาดเคลื่อน
50	44.76	11.7
60	54.97	9.15
70	63.32	10.54
80	70.43	13.58
90	86.54	4.00
100	90.89	10.02
120	110.98	8.12
140	132.65	5.54
160	150.32	6.43
180	169.87	5.96
200	187.36	6.74
250	225.76	10.73
300	281.24	6.67
350	311.36	12.41
400	380.57	10.51
450	420.35	7.05
500	476.78	4.87
550	528.90	4.93

จากผลการเปรียบเทียบ ค่าความกว้าง ของระยะห่างระหว่างช่องสลิตคู่ ที่ออกแบบและค่า ระยะห่างระหว่างช่องสลิตคู่ ที่ได้ด้วยการวิเคราะห์จาก กล้องจุลทรรศน์ เชิงแสง พบว่า ค่าความกว้างของระยะห่างระหว่างช่องสลิตคู่ที่ออกแบบจะมีค่าความกว้างมากกว่า ค่าความกว้างที่ได้ด้วยการวิเคราะห์จากกล้องจุลทรรศน์เชิงแสง หากค่าเปอร์เซ็นต์ความคลาดเคลื่อนค่าที่ได้จากกล้องจุลทรรศน์เทียบกับค่าที่ออกแบบ ได้เปอร์เซ็นต์ความคลาดเคลื่อนที่ไม่เกิน 14%

#### 4.4 ผลการทดลองหาค่าความกว้างของช่องสลิตด้วยวิธีการเลี้ยวเบนและแทรกสอดของแสงแบบเฟรอนโฮเฟอร์

จากการทดลองเปรียบเทียบค่าขนาดความกว้างของช่องสลิตเดี่ยว (a) และค่าความกว้างของระยะห่างระหว่างช่องสลิตคู่ (d) ด้วยวิธีการเลี้ยวเบนและแทรกสอดของแสงแบบเฟรอนโฮเฟอร์ โดยเลือกตัวอย่างสลิตเดี่ยวและสลิตคู่อย่างละ 4 ค่าที่วัดได้จากกล้องจุลทรรศน์ โดยติดตั้งชุดทดลองที่ออกแบบให้ระยะแหล่งกำเนิดแสงเลเซอร์ห่างจากสลิตเป็นระยะใดๆ เนื่องจากแสงที่ออกมาจากแหล่งกำเนิดเป็นลำแสงขนาน ในที่นี้ใช้ระยะประมาณ 0.5 เมตร ฉากรับภาพติดสเกลกราฟ ดังตัวอย่างรูปที่ 4.6 โดยฉากรับภาพห่างจากสลิต เป็นระยะ 1.5 เมตร ผลการทดลองแสดงดังตัวอย่าง ตารางที่ 4.4 และ 4.5 ตามลำดับ



( ก ) ภาพแถบมืดสว่างบนฉากรับภาพติดสเกลกราฟของสลิตเดี่ยว



( ข ) ภาพแถบมืดสว่างบนฉากรับภาพติดสเกลกราฟของสลิตคู่

รูปที่ 4.6 ภาพแถบมืดสว่างของการแทรกสอดและเลี้ยวเบนของแสงผ่านสลิตเดี่ยวและสลิตคู่บนฉากรับภาพติดสเกลกราฟ

ตารางที่ 4.3 ผลการเปรียบเทียบค่าความกว้างของช่องสลิตเดี่ยวที่ได้ด้วยการวิเคราะห์จากกล้องจุลทรรศน์เชิงแสงและค่าจากการทดลอง

ความกว้างของสลิตจากกล้องจุลทรรศน์เชิงแสง ( $\mu\text{m}$ )	ระยะสว่างกลางถึงริ้วมืดอันดับที่ 1 ( mm )	ความกว้างของสลิตจากการทดลอง ( $\mu\text{m}$ )	% ความคลาดเคลื่อน
46.95	18	52.50	11.8
92.30	9	105.0	2.38
171.9	5.4	175.0	1.8
356.29	2.5	378.0	6.09

จากผลการเปรียบเทียบ ค่าความกว้างของ ช่องสลิตเดี่ยวที่ได้ด้วยการวิเคราะห์จาก กล้องจุลทรรศน์เชิงแสงและค่าความกว้างที่ได้จากการทดลอง แล้วแทนค่าในสมการ  $a \frac{y}{L} = m\lambda$  ดังสมการที่ 2.16 คำนวณหาความกว้างของช่องสลิตเดี่ยว พบว่า ค่าที่ได้ด้วยการวิเคราะห์จาก กล้องจุลทรรศน์เชิงแสงมีค่าความกว้าง น้อยกว่าค่าที่ได้จากการทดลอง หากค่าเปอร์เซ็นต์ความคลาดเคลื่อนค่าที่ได้จากกล้องจุลทรรศน์เทียบกับค่าที่ได้จากการทดลอง ได้เปอร์เซ็นต์ความคลาดเคลื่อนที่ไม่เกิน 12%

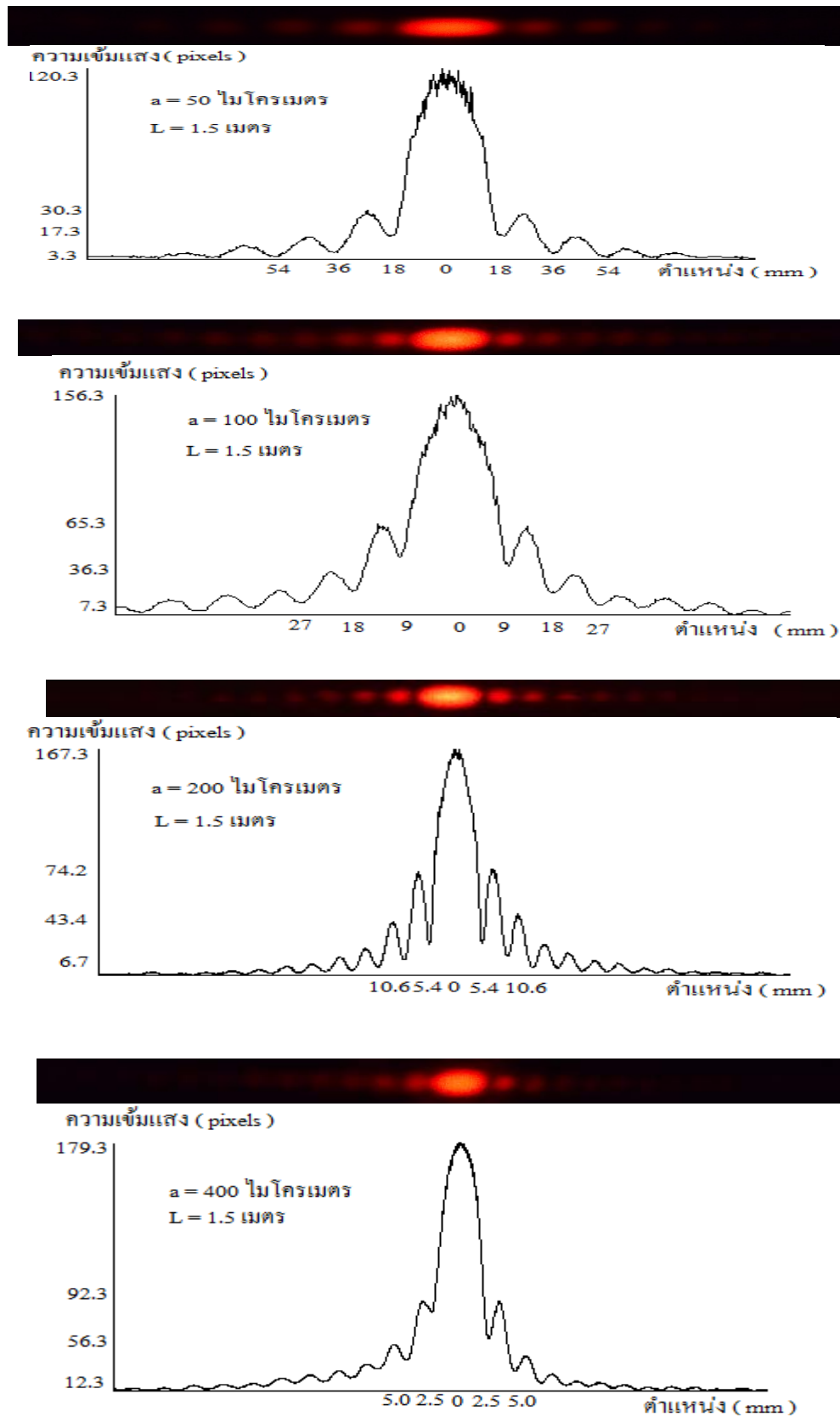
**ตารางที่ 4.4** ผลการเปรียบเทียบค่าความกว้างของระยะห่างระหว่างช่องสลิตคู่ที่ได้ด้วยการวิเคราะห์จากกล้องจุลทรรศน์เชิงแสงและค่าจากการทดลอง

ค่าระยะห่างระหว่างช่องสลิตคู่จากกล้องจุลทรรศน์เชิงแสง ( $\mu\text{m}$ )	ระยะสว่างกลางถึงริ้วสว่างอันดับที่ 1 (mm)	ค่าระยะห่างระหว่างช่องสลิตคู่จากการทดลอง ( $\mu\text{m}$ )	% ความคลาดเคลื่อน
44.76	20	47.25	5.56
90.89	10	94.50	4.00
225.76	4	236.25	4.64
420.35	2.1	441.00	4.91

จากผลการเปรียบเทียบ ความกว้างของ ระยะห่างระหว่างช่องสลิตคู่ ที่ได้ด้วยการวิเคราะห์จาก กล้องจุลทรรศน์เชิงแสงและค่าความกว้างที่ได้ จากการทดลอง แทนค่าในสมการ  $d \frac{y}{L} = n\lambda$  ดังสมการที่ 2.27 คำนวณหาความกว้างของระยะห่างระหว่างช่องสลิตคู่ พบว่า ค่าที่ได้ด้วยการวิเคราะห์จาก กล้องจุลทรรศน์เชิงแสงมีค่าความกว้าง น้อยกว่าค่าที่ได้จากการทดลอง หากค่าเปอร์เซ็นต์ความคลาดเคลื่อนค่าที่ได้จากกล้องจุลทรรศน์เทียบกับค่าที่ทดลอง ได้เปอร์เซ็นต์ความคลาดเคลื่อนที่ไม่เกิน 6%

#### 4.5 ผลการแปลงภาพถ่ายดิจิทัลของการแทรกสอดและเลี้ยวเบนของแสงเป็นกราฟการกระจายความเข้มแสงด้วยโปรแกรม Image J

ทำการแปลงภาพถ่ายดิจิทัลของการแทรกสอดและเลี้ยวเบนของแสงแบบเฟรอน์โฮเฟอร์ผ่านสลิตเดี่ยวและสลิตคู่ โดยเลือกตัวอย่างสลิตเดี่ยว และสลิตคู่อย่างละ 4 ค่า ใช้ระยะจากสลิตถึงฉาก รับภาพ 1.5 เมตร ให้แสงเลเซอร์สีแดงความยาวคลื่น 630 นาโนเมตร ผ่านสลิตตกบนฉากรับภาพที่ติดสเกลกราฟแปลงเป็นข้อมูลกราฟ การกระจาย ความเข้มแสงเทียบกับตำแหน่งด้วยโปรแกรม Image J แสดงตัวอย่างดังรูปที่ 4.7 และ 4.8 ตามลำดับ



รูปที่ 4.7 แถบมืดสว่างและการกระจายความเข้มแสงผ่านช่องสลิตเดี่ยวเทียบกับตำแหน่ง  
ด้วยโปรแกรม Image J

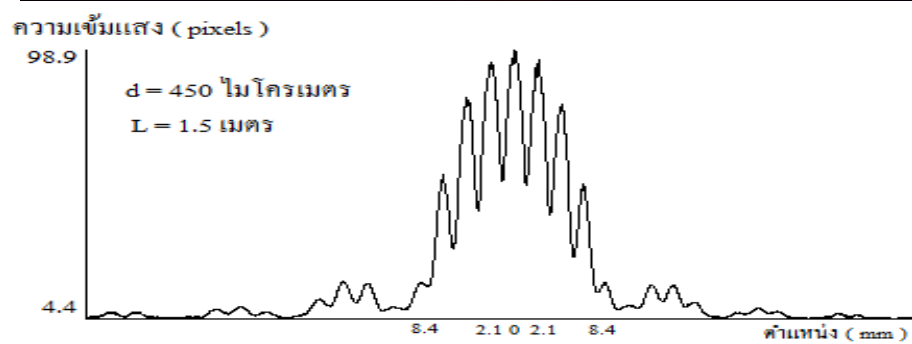
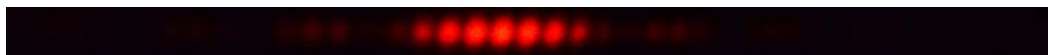
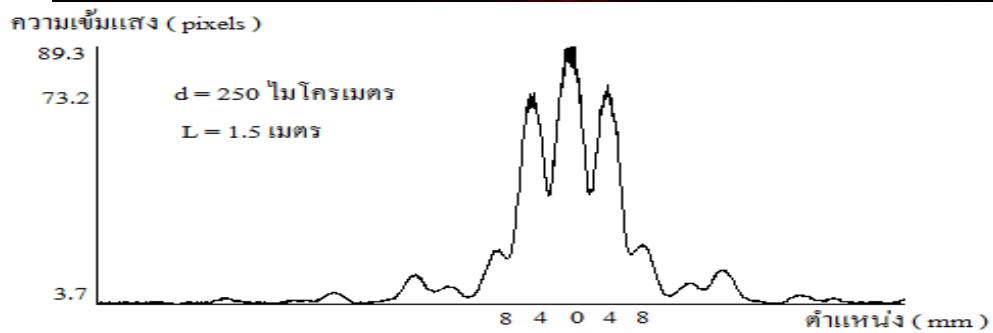
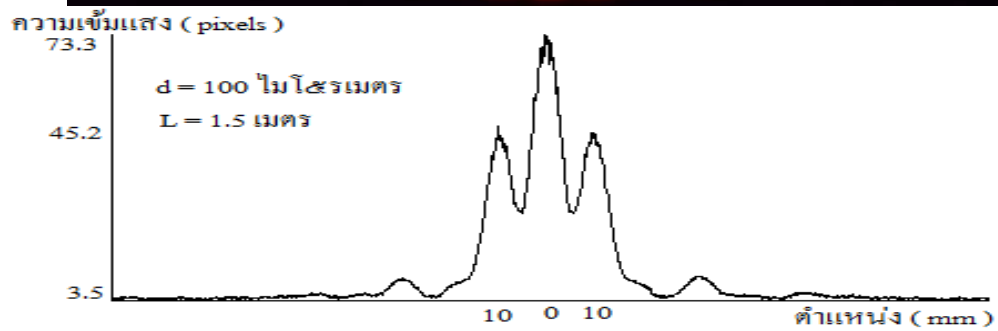
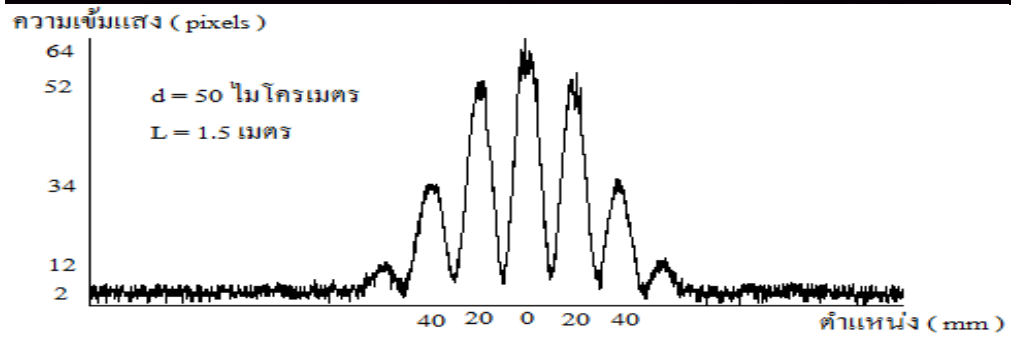
จากผลการทดลอง สลิตเดี่ยว ดังตัวอย่างรูปที่ 4.7 พบว่า ได้กราฟการกระจายความเข้มแสง เทียบกับตำแหน่ง สอดคล้องกับผลที่ได้จากภาพถ่าย โดยขนาดความกว้างของแถบสว่างกลางพบว่า กว้างมากกว่าแถบสว่างลำดับถัดๆ ไป (ประมาณ 2 เท่า) ซึ่งแถบสว่างลำดับอื่นๆ มีขนาดความกว้างเท่าๆ กัน และความเข้มแสงของแถบสว่างกลางสูงกว่าแถบสว่างลำดับถัดๆ ไปมาก ซึ่งแสดงให้เห็นลำแสงที่เลี้ยวเบนผ่านช่องเปิดจะมีความเข้มมากที่สุดที่ระยะแนวกึ่งกลางช่องเปิด ในการทดลองนี้ทำการแปลงข้อมูลตำแหน่งในแนวแกน x ให้สัมพันธ์กับระยะ สเกลที่แท้จริง (หน่วยมิลลิเมตร) โดยเทียบค่าตำแหน่ง pixels ของตำแหน่งเทียบกับระยะได้ คือ ข้อมูลระยะที่วัดได้ด้วยโปรแกรม Image J 4.8 pixels เท่ากับ 1 มิลลิเมตร

ส่วนข้อมูลจากกราฟในแนวแกน y สามารถใช้อธิบายความสัมพันธ์ของความเข้มแสง ได้ดังสมการที่

$$2.23 \text{ คือ } I = I_0 \left[ \frac{\sin^2\left(\frac{\pi a \sin \theta}{\lambda}\right)}{\left(\frac{\pi a \sin \theta}{\lambda}\right)^2} \right] \text{ ทั้งนี้ต้องทำการสอบเทียบค่าความเข้มแสงที่แท้จริงกับหัววัด}$$

กำลังแสง ก่อน แต่ในงานวิจัยนี้ไม่ได้ทำการวัดความเข้มแสงด้วยหัววัดกำลังแสง เนื่องจาก การแสดงผลความเข้มแสงด้วยโปรแกรม Image J แสดงความเข้มแสงในหน่วย pixels โดยตัวเลขค่า pixels แปรตามความเข้มแสง ดังนั้นจึงสามารถใช้ค่า pixels เทียบเคียงค่าความเข้มแสงได้ โดยงานวิจัยนี้ใช้กับนักเรียนระดับชั้นมัธยมศึกษาตอนปลาย ซึ่ง เน้นศึกษาค่าตำแหน่งแถบมืดสว่างในแนวแกน x ส่วนทอมความเข้มแสงไม่ได้เน้นในระดับนี้ อีกทั้งในห้องเรียนระดับมัธยมไม่มีหัววัดความเข้มแสงใช้งาน

และสำหรับผลการทดลอง สลิตคู่ ดังตัวอย่างรูปที่ 4.8 พบว่าจะได้รูปแบบการแทรกสอดและการเลี้ยวเบน มีแถบสว่างมืดสลับกัน โดยแถบสว่างกลางกว้างที่สุด ภายในแถบสว่างของรูปแบบการเลี้ยวเบนจะมีแถบสว่างกับแถบมืด ที่เกิดจากการแทรกสอดรวม อยู่ด้วย ภายในแถบสว่างและมีมืดของการเลี้ยวเบน บรรจุแถบสว่างมืด ของการแทรกสอดอยู่ภายใน ในการทดลองนี้ทำการแปลงข้อมูลตำแหน่งในแนวแกน x ให้สัมพันธ์กับระยะสเกลที่แท้จริง (หน่วยมิลลิเมตร) โดยเทียบค่าตำแหน่ง pixels ของตำแหน่งเทียบกับระยะได้ คือ ข้อมูลระยะที่วัดได้ด้วยโปรแกรม Image J 4.8 pixels เท่ากับ 1 มิลลิเมตร เช่นเดียวกับการทดลองสลิตเดี่ยว



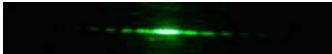
รูปที่ 4.8 แถบมืดสว่างและการกระจายความเข้มแสงผ่านช่องสลิตคู่เทียบกับตำแหน่ง  
ด้วยโปรแกรม Image J

## 4.6 ผลการศึกษาตัวแปร $a$ , $d$ , $L$ และ $\lambda$ วัดค่าระยะความกว้างจากแถบสว่างกลางมายังแถบมืดอันดับใดๆของการแทรกสอดและเลี้ยวเบนของแสงผ่านสลิตเดี่ยวและสลิตคู่

### 4.6.1 การทดลองการแทรกสอดและการเลี้ยวเบนของแสงผ่านสลิตเดี่ยว

การทดลองการแทรกสอดและการเลี้ยวเบนของแสงผ่านสลิตเดี่ยวที่เปลี่ยนค่าตัวแปรต่างๆ แสดงผลตัวอย่างดังตารางที่ 4.5

ตารางที่ 4.5 ผลการทดลองการแทรกสอดและการเลี้ยวเบนของแสงแบบเฟรอนโฮเฟอร์ผ่านสลิตเดี่ยว

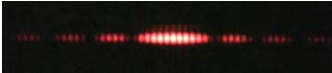
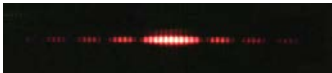
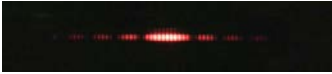
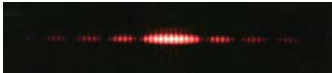
เงื่อนไขตัวแปร	วิธีทดลอง	ทำนาย	ผล
เปลี่ยน $a$	คงที่ $L$ และ $\lambda$	ถ้า	
$a_1 = 90 \mu\text{m}$	$L = 1.4 \text{ m}$	ถ้า $a \downarrow$ , $y \uparrow$	
$a_2 = 450 \mu\text{m}$	$\lambda = 630 \text{ nm}$	ถ้า $a \uparrow$ , $y \downarrow$	
เปลี่ยน $L$	คงที่ $a$ และ $\lambda$	ถ้า	
$L_1 = 1.0 \text{ m}$	$a = 90 \mu\text{m}$	ถ้า $L \downarrow$ , $y \downarrow$	
$L_2 = 1.4 \text{ m}$	$\lambda = 630 \text{ nm}$	ถ้า $L \downarrow$ , $y \uparrow$	
เปลี่ยน $\lambda$	คงที่ $a$ และ $L$	ถ้า	
$\lambda_1 = 532 \text{ nm}$	$a = 90 \mu\text{m}$	ถ้า $\lambda \downarrow$ , $y \downarrow$	
$\lambda_2 = 630 \text{ nm}$	$L = 1.4 \text{ m}$	ถ้า $\lambda \uparrow$ , $y \uparrow$	

จากผลการทดลอง พบว่าความกว้างจากแถบสว่างกลางมายังแถบมืดอันดับที่ 1 ( $y_{m=1}$ ) ของการแทรกสอดและเลี้ยวเบนของแสงผ่านสลิตเดี่ยวจะมีความกว้างมากที่สุด และ ค่าระยะความกว้างจากแถบสว่างกลางมายังแถบมืดอันดับใดๆ ( $y_m$ ) จะแปรผกผันกับความกว้างของช่องสลิต ( $a$ ) แต่จะแปรผันตรงกับระยะห่างระหว่างฉากรับภาพถึงสลิต ( $L$ ) และความยาวคลื่นของแหล่งกำเนิดแสง ( $\lambda$ ) ที่เป็นดังสมการ 2.15 และ 2.16

#### 4.6.2 การทดลองการแทรกสอดและการเลี้ยวเบนของแสงผ่านสลิตคู่

การทดลองการแทรกสอดและ การเลี้ยวเบนของแสงผ่านสลิต คู่ที่เปลี่ยนค่าตัวแปรต่างๆ แสดงผลดัง ตารางที่ 4.6

ตารางที่ 4.6 ผลการทดลองการแทรกสอดและการเลี้ยวเบนของแสงแบบเฟรอน์โฮเฟอร์ผ่านสลิตคู่

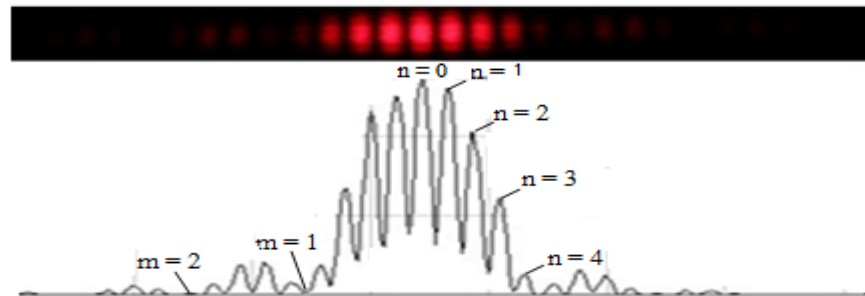
เงื่อนไขตัวแปร	วิธีทดลอง	ทำนาย	ผล
เปลี่ยน $d$	คงที่ $L, a$ และ $\lambda$		
$d_1 = 310 \mu\text{m}$	$L = 1.4 \text{ m}$	ถ้า $d \downarrow, y \uparrow$	
$d_2 = 450 \mu\text{m}$	$a = 70 \mu\text{m}$	ถ้า $d \uparrow, y \downarrow$	
	$\lambda = 630 \text{ nm}$		
เปลี่ยน $L$	คงที่ $d, a$ และ $\lambda$		
$L_1 = 1.0 \text{ m}$	$d = 450 \mu\text{m}$	ถ้า $L \downarrow, y \downarrow$	
$L_2 = 1.4 \text{ m}$	$a = 70 \mu\text{m}$	ถ้า $L \uparrow, y \uparrow$	
	$\lambda = 630 \text{ nm}$		
เปลี่ยน $\lambda$	คงที่ $d, a$ และ $L$		
$\lambda_1 = 532 \text{ nm}$	$d = 450 \mu\text{m}$	ถ้า $\lambda \downarrow, y \downarrow$	
$\lambda_2 = 630 \text{ nm}$	$a = 70 \mu\text{m}$	ถ้า $\lambda \uparrow, y \uparrow$	
	$L = 1.4 \text{ m}$		

↑ คือ เพิ่มขึ้น และ ↓ คือ ลดลง

จากผลการทดลองสำหรับสลิตคู่ พบว่า ค่าระยะความกว้างจากแถบสว่างกลางมายังแถบ สว่างกลาง อันดับใดๆ ( $y_n$ ) จะแปรผกผันกับระยะห่างระหว่างช่องสลิต ( $d$ ) แต่จะแปรผันตรงกับระยะห่างระหว่างฉากรับภาพถึงสลิต ( $L$ ) และความยาวคลื่นของแหล่งกำเนิดแสง ( $\lambda$ ) ที่เป็นดังสมการ 2.26 และ 2.27

## 4.7 ผลการศึกษาความสัมพันธ์ของจำนวนแถบสว่างของการแทรกสอดภายในต่อจำนวนแถบมืดของการเลี้ยวเบนภายนอกเทียบกับอัตราส่วนระยะห่างระหว่างสลิตต่อความกว้างของช่องสลิตคู่

ทดลองศึกษาหาความสัมพันธ์ของจำนวน แถบสว่างของการแทรกสอดภายในต่อจำนวน แถบมืดของการเลี้ยวเบนภายนอกเทียบกับอัตราส่วนระยะห่างระหว่างสลิตต่อความกว้างของช่องสลิตคู่ ที่ความกว้างของช่องสมมาตร ผลการทดลองแสดงดังรูปที่ 4.9 และตารางที่ 4.7



รูปที่ 4.9 แสดงจำนวนแถบของการแทรกสอดภายในแถบการเลี้ยวเบนภายนอกของการแทรกสอดและการเลี้ยวเบนของแสงแบบเฟรอน์โฮเฟอร์

จากรูปที่ 4.9 ความกว้างของช่องสลิต 90 ไมโครเมตรเท่ากัน ระยะห่างระหว่างช่องของสลิตทั้งคู่ 450 ไมโครเมตร พบว่า จากการนับจำนวนแถบ สว่างที่เกิดขึ้นเนื่องจากการแทรกสอดภายใน แถบสว่างกลางของการเลี้ยวเบนได้จำนวน 9 แถบโดยแถบสว่างกลาง  $n = 0$  แถบสว่างอันดับอื่นๆ  $n = 1$  ถึง  $n = 4$

จากอัตราส่วน จำนวนแถบสว่างของการแทรกสอดภายใน ( $N$ ) ต่อจำนวนแถบมืดของการเลี้ยวเบนภายนอก ( $M$ ) เท่ากับอัตราส่วนระยะห่างระหว่างสลิต ( $d$ ) ต่อความกว้างของช่องสลิต ( $a$ ) ในที่นี้ ค่า  $N$  มีค่าเท่ากับ 5 โดยนับจากอันดับแถบ สว่างกลาง  $n = 0$  ถึงแถบสว่างอันดับสุดท้าย  $n = 4$  ส่วน  $M$  มีค่าเท่ากับ 1 โดยที่อัตราส่วน  $N/M$  เท่ากับ 5 ส่วน อัตราส่วน  $d/a$  เท่ากับ  $450/90$  เท่ากับ 5 เช่นเดียวกัน ดังนั้นจากข้อมูลกราฟผลการทดลองและภาพถ่ายสามารถแสดงให้เห็นถึงความสัมพันธ์ของ อัตราส่วนจำนวนแถบสว่างของการแทรกสอดภายใน ( $N$ ) ต่อจำนวนแถบมืดของการเลี้ยวเบนภายนอก ( $M$ ) เท่ากับอัตราส่วนระยะห่างระหว่างสลิต ( $d$ ) ต่อความกว้างของช่องสลิต ( $a$ ) เป็นจริงดังตัวอย่างที่แสดงในตารางที่ 4.7

ตารางที่ 4.7 ผลของการทดลองหาความกว้างแถบมืดสว่างของการแทรกสอดและการเลี้ยวเบนของแสงผ่านสลิตคู่

ความกว้าง ช่องสลิต (a) ( $\mu\text{m}$ )	ระยะห่าง ช่องสลิตคู่ (d) ( $\mu\text{m}$ )	จำนวนแถบสว่างของ การแทรกสอด (N)	$\frac{N}{M}$	$\frac{d}{a}$
70	380	5	5	5.4
70	450	6	6	6.4
90	450	5	5	5

หมายเหตุ : จำนวนแถบมืดของการเลี้ยวเบนภายนอก  $M=1$

#### 4.8 ผลการออกแบบการสอนหลัก การเรื่องการแทรกสอดและการเลี้ยวเบนของแสงโดยการทดลองผ่านกระบวนการสอนแบบสืบเสาะให้นักเรียนในวิชาฟิสิกส์ระดับมัธยมศึกษาตอนปลาย

ผู้เรียนรู้ถึงความแตกต่างระหว่างการแทรกสอดและการเลี้ยวเบนของแสงแบบฟราน์โฮเฟอร์ ผ่านทางอุปกรณ์และกระบวนการเรียนรู้แบบสืบเสาะ โดย อุปกรณ์ในการสืบเสาะความรู้ประกอบด้วย แสงเลเซอร์ สลิตขนาดต่างๆ และฉากรับภาพ เกิดองค์ความรู้ที่สำคัญหลายด้านทั้งทางตรงและทางอ้อม รู้วิธีการใช้โปรแกรมวิเคราะห์ภาพถ่ายการกระจายความเข้มแสงกับตำแหน่ง สามารถเทียบสเกล pixels ของโปรแกรม Image J เทียบกับระยะตำแหน่งที่ กิดจากภาพแถบ มืดสว่างที่ถ่ายจากกล้องดิจิทัล เรียนรู้การใช้งาน ซอฟต์แวร์โปรแกรม Adobe Illustrator CS3 ในการสร้างสลิตจากแผ่นฟิล์มกราฟิก รูปแบบขนาดที่หลากหลายด้วยตนเอง ส่งผลให้ผู้เรียนเกิดทักษะกระบวนการคิดและวิเคราะห์ ที่มีศักยภาพ ซึ่งผลงานดังกล่าวได้ถูกนำเสนอในก ารประชุมวิชาการเกษตรศาสตร์ครั้งที่ 53 (รายละเอียดดังในภาคผนวก)